

КИЇВСЬКИЙ НАЦІОНАЛЬНИЙ УНІВЕРСИТЕТ ІМЕНІ ТАРАСА ШЕВЧЕНКА  
ФАКУЛЬТЕТ КОМП'ЮТЕРНИХ НАУК ТА КІБЕРНЕТИКИ

ЛАБОРАТОРНА РОБОТА №2  
з курсу "ПРОБЛЕМИ БАГАТОЗНАЧНОГО АНАЛІЗУ"

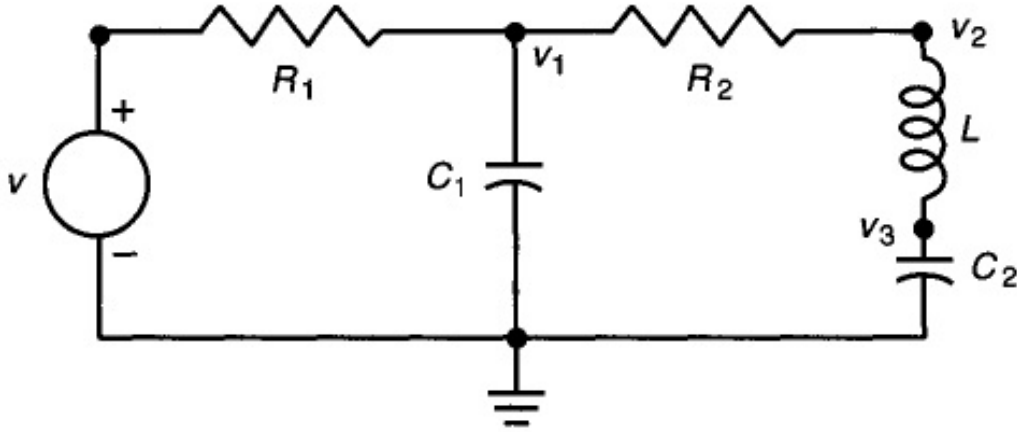
Виконала студентка групи ОМ-2  
Живолович Олександра Євгенівна

Київ, 2021

# Зміст

<b>1</b>	<b>Математична модель</b>	<b>3</b>
<b>2</b>	<b>Постановка задачі</b>	<b>3</b>
<b>3</b>	<b>Теоретичні відомості</b>	<b>4</b>
<b>4</b>	<b>Алгоритм розв’язання задачі</b>	<b>5</b>
4.1	Зведення до стандартного вигляду . . . . .	5
4.2	Чисельний розв’язок методом РК . . . . .	5
4.3	Відновлення еліпсоїду за матрицею та центром . . . . .	6
<b>5</b>	<b>Результати</b>	<b>6</b>
<b>6</b>	<b>Висновки</b>	<b>8</b>

# 1 Математична модель



Розглянемо математичну модель, яка описує зміну електричної напруги  $v_1, v_2, v_3$  у контурі, яка має вигляд:

$$C_1 \frac{dv_1(t)}{dt} = - \left( \frac{1}{R_1} + \frac{1}{R_2} \right) v_1(t) + \frac{1}{R_2} v_2(t) + \frac{1}{R_1} v(t) \quad (1)$$

$$C_1 \frac{dv_2(t)}{dt} = - \left( \frac{1}{R_1} + \frac{1}{R_2} \right) v_1(t) - \left( \frac{C_1 R_2}{L} - \frac{1}{R_2} \right) v_2(t) + \frac{C_1 R_2}{L} v_3(t) + \frac{1}{R_1} v(t) \quad (2)$$

$$R_2 \frac{dv_3(t)}{dt} = \frac{1}{C_2} (v_1(t) - v_2(t)) \quad (3)$$

де  $v(t)$  - електрична напруга джерела.

## 2 Постановка задачі

При заданих  $R_1, R_2, C_1, C_2, L, v(t)$  побудувати багатозначне відображення, яке описує динаміку пучка траєкторій системи (1) - (3) у формі (5) з використанням матричного рівняння Ляпунова (6). Множина початкових умов обирається у формі еліпсоїда

$$M_0 = \mathcal{E}(x_0, Q_0)$$

де  $x_0 \in \mathbb{R}^3$  - центр еліпсоїда,  $Q_0 \in \mathbb{R}^{3 \times 3}$  - матриця, симетрична і додатньо-визначена. Вивести проекцію графіка багатозначного відображення, значення багатозначного відображення та параметри моделі.

### 3 Теоретичні відомості

Розглянемо систему звичайних диференціальних рівнянь:

$$\frac{dx}{dt} = A(t)x + f(t), \quad t \in [t_0, T] \quad (4)$$

де  $x = (x_1, \dots, x_n)^T$  - вектор стану системи,  $f : [t_0, T] \rightarrow \mathbb{R}^n$  - неперервна функція,  $A(t) \in \mathbb{R}^{n \times n}$  - матриця з неперервними компонентами.

Нехай  $M_0 \subseteq \mathbb{R}^n$  - компактна множина, яка задає початкові умови системи (4),  $x(t, x_0, t_0)$  - розв'язок системи (4), який відповідає певній умові Коші  $x(t_0) = x_0$ . Множина

$$X(t) = \bigcup_{x_0 \in M_0} x(t, x_0, t_0)$$

називається **перетином пучка траєкторій системи** (4) у момент  $t$ . Позначимо

$$\mathcal{E}(p, B) = \{x \in \mathbb{R}^n : \langle B^{-1}(x - p), x - p \rangle \leq 1\}$$

еліпсоїд з центром  $p \in \mathbb{R}^n$ ,  $B \in \mathbb{R}^{n \times n}$  - матриця, симетрична і додатньо-визначена.

Нехай множина початкових станів  $M_0$  представлена у формі еліпсоїда, тобто

$$M_0 = \mathcal{E}(x_0, Q_0)$$

де  $x_0 \in \mathbb{R}^n$ ,  $Q_0 \in \mathbb{R}^{n \times n}$  - матриця, симетрична і додатньо-визначена. Тоді пучок траєкторій системи (4) у момент  $t$

$$X(t) = \mathcal{E}(x(t), Q(t)), \quad t \in [t_0, T] \quad (5)$$

де  $x(t) = x(t, x_0, t_0)$ ,  $Q(t) = \Theta(t, t_0)Q_0\Theta^*(t, t_0)$ ,  $\Theta(t, t_0)$  - фундаментальна матриця системи  $\frac{dx}{dt} = A(t)x$ , нормована за моментом  $t_0$ . Матриця  $Q(t)$  може бути знайдена з матричного диференціального рівняння

$$\frac{dQ}{dt} = A(t)Q + QA^*(t), \quad Q(t_0) = Q_0, \quad t \in [t_0, T] \quad (6)$$

## 4 Алгоритм розв'язання задачі

Підійдемо до задачі наступним чином - будемо розв'язувати систему (1) - (3), спочатку зведши її до вигляду (4). Далі, будемо розв'язувати систему чисельно, обравши у якості початкової точки центр еліпсоїда  $M_0$ . Таким чином, ми зможемо відновити еліпсоїд у будь-який момент часу, знаючи його центр.

### 4.1 Зведення до стандартного вигляду

Запишемо систему (1) - (3) у вигляді (4):

$$\frac{dv_1(t)}{dt} = -\frac{1}{C_1} \left( \frac{1}{R_1} + \frac{1}{R_2} \right) v_1(t) + \frac{1}{C_1 R_2} v_2(t) + \frac{1}{C_1 R_1} v(t) \quad (7)$$

$$\frac{dv_2(t)}{dt} = -\frac{1}{C_1} \left( \frac{1}{R_1} + \frac{1}{R_2} \right) v_1(t) - \frac{1}{C_1} \left( \frac{C_1 R_2}{L} - \frac{1}{R_2} \right) v_2(t) + \frac{R_2}{L} v_3(t) + \frac{1}{C_1 R_1} v(t) \quad (8)$$

$$\frac{dv_3(t)}{dt} = \frac{1}{R_2 C_2} (v_1(t) - v_2(t)) \quad (9)$$

Випишемо матрицю системи  $A(t)$ :

$$A(t) = \begin{pmatrix} -\frac{1}{C_1} \left( \frac{1}{R_1} + \frac{1}{R_2} \right) & \frac{1}{C_1 R_2} & 0 \\ -\frac{1}{C_1} \left( \frac{1}{R_1} + \frac{1}{R_2} \right) & -\frac{1}{C_1} \left( \frac{C_1 R_2}{L} - \frac{1}{R_2} \right) & \frac{R_2}{L} \\ \frac{1}{R_2 C_2} & -\frac{1}{R_2 C_2} & 0 \end{pmatrix} \quad (10)$$

та, поклавши

$$f(t) = \begin{pmatrix} f_1(t) \\ f_2(t) \\ f_3(t) \end{pmatrix} = \begin{pmatrix} \frac{1}{C_1 R_1} v(t) \\ \frac{1}{C_1 R_1} v(t) \\ 0 \end{pmatrix} \quad (11)$$

отримаємо систему у шуканому вигляді (4). Будемо розв'язувати її чисельно за допомогою методу Рунге — Кутти 4 порядку, оскільки це один з найбільш розповсюджених методів та має сумарну похибку на інтервалі  $O(h^4)$ , де  $h$  - крок методу.

### 4.2 Чисельний розв'язок методом РК

Нехай маємо задачу Коші

$$\frac{dy}{dt} = g(t, y), \quad y(t_0) = y_0$$

Наблизимо її розв'язок у  $n$  точках рівномірної сітки  $t_1, \dots, t_n$  наступним чином:

$$y_{n+1} = y_n + \frac{1}{6} h (k_1 + k_2 + k_3 + k_4), \quad t_{n+1} = t_n + h$$

де  $k_i, i = \overline{1, 4}$  визначені наступним чином

$$\begin{aligned}k_1 &= g(t_n, y_n) \\k_2 &= g(t_n + \frac{h}{2}, y_n + \frac{h}{2}k_1) \\k_3 &= g(t_n + \frac{h}{2}, y_n + \frac{h}{2}k_2) \\k_4 &= g(t_n + h, y_n + hk_3)\end{aligned}$$

У нашому випадку

$$g(t, y) = A(t)x(t) + f(t)$$

### 4.3 Відновлення еліпсоїду за матрицею та центром

Наш еліпсоїд заданий наступним чином:

$$\mathcal{E}(p, B) = \{x \in \mathbb{R}^3 : \langle B^{-1}(x - p), x - p \rangle \leq 1\}$$

Відомо, що матриця  $B^{-1}$  має за власні числа **квадрати обернених півосей еліпсу**  $a^{-2}, b^{-2}, c^{-2}$ . Також, відомо що власні числа оберненої матриці дорівнюють оберненим власним числам прямої матриці, тобто власні числа  $B$  -  $a^2, b^2, c^2$ .

Скористаємось також тим, що власні вектори матриці  $B^{-1}$  та  $B$  співпадають, і, більш того, задають осі еліпсоїда.

Згадаємо про параметричне представлення еліпсоїда

$$x = a \sin(\theta) \cos(\varphi) \quad (12)$$

$$y = b \sin(\theta) \sin(\varphi) \quad (13)$$

$$z = c \cos(\theta) \quad (14)$$

де  $0 \leq \theta \leq \pi, 0 \leq \varphi \leq 2\pi$ .

Отже, маючи центр еліпсоїда  $p$  точку, отриману з параметричного представлення  $p' = (p'_1, p'_2, p'_3)$ , та власні вектори матриці еліпсоїда  $l_1, l_2, l_3$ , то точку еліпсоїда можна представити як:

$$p + l_1 p'_1 + l_2 p'_2 + l_3 p'_3$$

## 5 Результати

Покладемо наступні початкові умови

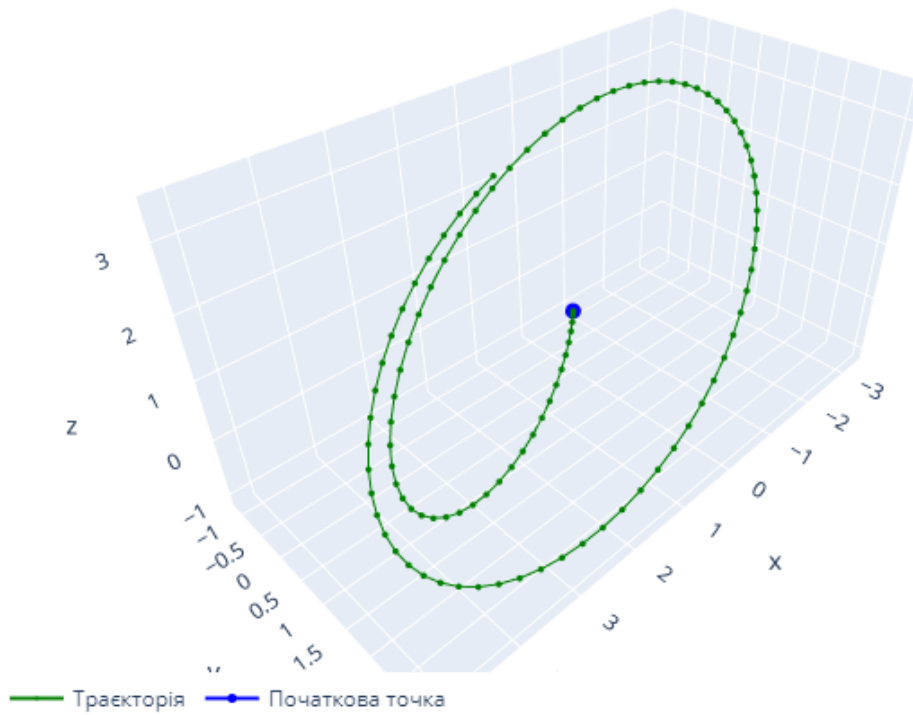
$$C_1 = C_2 = 2, R_1 = R_2 = 1, L = 1$$

$$v(t) = 10 \sin(t), t_0 = 0, T = 10$$

$$x_0 = (1, 1, 1)^T$$

$$Q_0 = \begin{pmatrix} 0.5 & 0 & 0 \\ 0 & 0.5 & 0 \\ 0 & 0 & 0.5 \end{pmatrix}$$

Тоді, можемо спочатку розглянути траєкторію однієї точки:



Тепер, розглянемо динаміку пучка траєкторій системи, розв'язавши рівняння для центральної точки множини початкових станів, і побудувавши відповідні еліпси з центром у кожній точці траєкторії, отриманої у попередньому експерименті.

Візуально бачимо, що пучок траєкторій системи вироджується у точку, що означає, що система, у певному сенсі є стабільною, тобто близькі початкові умови призводять до однакових розв'язків.

Перевіримо чи дійсно це так. Можемо розглянути еліпсоїд, отриманий на останньому кроці симуляції. Нехай  $p$  - центр еліпсоїда, відносно якої ми будували наші відповідні еліпсоїди у кожний момент часу. У випадку заданих початкових умов, маємо

$$\max_{p' \in X(10)} |p'_x - p_x| = 0.06074$$

$$\max_{p' \in X(10)} |p'_y - p_y| = 0.09828$$

$$\max_{p' \in X(10)} |p'_z - p_z| = 0.09028$$

Перевіримо, що відбудеться якщо розширити часовий проміжок до  $T = 20$ :

$$\max_{p' \in X(20)} |p'_x - p_x| = 0.0082516$$

$$\max_{p' \in X(20)} |p'_y - p_y| = 0.0131680$$

$$\max_{p' \in X(20)} |p'_z - p_z| = 0.0121748$$

Отже бачимо, що якщо ми починаємо з подібних, тобто близьких початкових станів, ми отримуємо близькі розв'язки системи.

## 6 Висновки

Було розв'язано систему диференціальних рівнянь з допомогою методу Рунге-Кутта для множини початкових станів у формі еліпсоїда, тобто було побудоване багатозначне відображення, що описує динаміку пучка траєкторій системи диференціальних рівнянь, що моделюють зміну електричної напруги у системі.